

تحلیل سیلاب حوضه‌ی دز

رامین رستمی^{*}^۱، حسین صدقی^۲، علی معمتمدی^۳

تاریخ دریافت: ۸۷/۱۲/۲ تاریخ پذیرش: ۸۸/۳/۲۶

چکیده

در این پژوهش با استفاده از آمار ۲۶ ایستگاه آب سنجی حوضه‌ی دز اقدام به تحلیل ایستگاهی و منطقه‌ای سیلاب با روش گشتاورهای خطی شده است. برای تشخیص مناطق همگن از روش خوش بندی سلسله مراتبی وارد (Ward) و برای تعیین تعداد مناطق همگن مناسب از روش تعیین معیار ناسازگاری و ناهمگنی استفاده شد. بر این اساس، تقسیم حوضه‌به سه منطقه همگن مناسب بنظر می‌رسد. بر اساس نتایج، منطقه‌ی A نسبت به دو منطقه‌ی B و C معیار ناهمگنی بالاتری دارد. در این پژوهش، حساسیت تحلیل به انتخاب رابطه‌ی احتمال تجربی به گونه‌ای مبسوط مورد بررسی قرار گرفت. برای انتخاب بهترین توزیع آماری و رابطه‌ی احتمال تجربی در تحلیل ایستگاهی، از روش بهترین برازش و در تحلیل منطقه‌ای، از روش‌های معیار بهترین برازش و نمودار گشتاورهای خطی استفاده شد. توزیع لوگستیک تعیین یافته بیشترین انتخاب را در تحلیل ایستگاهی دارد. در تحلیل منطقه‌ای توزیع مقادیر حدی تعیین یافته با رابطه‌ی احتمال تجربی چگویندیف برای منطقه‌ی A، توزیع لوگستیک تعیین یافته با رابطه‌ی گرین گورتن برای منطقه‌ی B و توزیع مقادیر حدی تعیین یافته با رابطه‌ی گرین گورتن برای منطقه‌ی C مناسب ترین توزیع آماری هستند. نتایج تحلیل خطابین بین داده‌های مشاهده‌ای و محاسبه‌ای نشان داد که در روش تحلیل منطقه‌ای محاسبات در دوره‌های برگشت پایین خطای بیشتری نسبت به دوره‌های برگشت بالا دارد. توزیع بهنچار بیشترین خطای محاسباتی را در بین توزیع‌های آماری در این منطقه دارد. با استفاده از روش وایازی چند گانه، معادله‌های منطقه‌ای جهت برآورد در مناطق فاقد آمار تخمین زده شد.

واژه‌های کلیدی: دز، گشتاورهای خطی، خوش بندی، نمودار گشتاورهای خطی، معیار بهترین برازش

^۱- دانشجوی دکتری هیدرولوژی، دانشگاه آزاد اسلامی، واحد علوم و تحقیقات تهران

^۲- استاد دانشگاه آزاد اسلامی، واحد علوم و تحقیقات تهران

^۳- دانشجوی دکتری هیدرولوژی، دانشگاه آزاد اسلامی واحد علوم و تحقیقات تهران

*-نویسنده‌ی مسؤول مقاله rrostami8@gmail.com

پیشینه‌ی پژوهش

به دلیل وضعیت ویژه‌ی منابع آب حوضه‌های کارون و
دز و روی کرد استفاده‌ی هر چه بیشتر از این منابع،
پژوهش‌های زیادی در مورد تحلیل سیالاب این حوضه
انجام شده است. از جمله‌ی این پژوهش‌ها می‌توان به
موردهای زیر اشاره نمود:

تخمین بده های طرح در برخی زیر حوضه ها در قالب مطالعات احیای اراضی کشاورزی حوضه ای کارون به وسیله ای شرکت مهندسین مشاور یکم(۱۳۶۲)، تخمین بده های بیشینه ای سالانه با استفاده از روابط تجربی(اسلامیان ۱۳۶۹)، تخمین بده های بیشینه با استفاده از آمار بارش روزانه(اسدی ۱۳۶۷)، مطالعات شرکت جاییکا(۲۰۰۰)، تخمین بده های بیشینه با روابط تجربی(دماوندی نژاد ۱۳۷۸)، مطالعات شرکت مهندسین مشاور مهاب قدس(۱۳۷۰، ۷۵)، مطالعات شرکت جاماب(۱۳۷۸)، مطالعات شرکت اکرز(۱۹۸۲، ۱۹۸۴ و ۱۹۸۵)، معتمدی(پایان نامه کارشناسی ارشد ۱۳۸۴) و مطالعات از این دست. در تمام این دستگیری(۱۳۸۶) و مطالعات از این دست. در خطی استفاده نشده است. در پژوهش ایشان حساسیت مطالعات به غیر از خلیلی و معتمدی از روش گشتاورهای خطی استخبارهای خطی به انتخاب تعداد مناطق همگن، روش گشتاورهای خطی به انتخاب تعداد مناطق همگن، روش تشخیص مناطق همگن، ناسازگاری ایستگاهها، انتخاب بهترین رابطه ای احتمال تجربی در نظر گرفته نشده است. در این پژوهش تمام کاستی های مورد اشاره در نظر گرفته شده اند.

تعیین مناطق همگن

تحلیل منطقه‌ای فراوانی سیل یا بارش باید در مناطق همگن صورت گیرد؛ بنابراین، شرط اصلی تحلیل منطقه‌ای، همگن بودن منطقه‌ی مورد مطالعه است.

در این پژوهش مناطق همگن در حوضه‌ی رود دز با استفاده از روش خوش‌بندی سلسله مراتبی وارد شدند. K-Means (Ward) تشخیص داده شدند. ویژگی‌های جامعه‌ی خوش‌بندی عبارت بودند از: ارتفاع، طول و عرض جغرافیایی، مساحت حوضه و بدنه‌ای لحظه‌ای.

پیشگفتار

هدف اولیه‌ی تحلیل فراوانی، ارتباط دادن حوادث حدی به فراوانی رخداد آنها از راه استفاده از توزیع‌های آماری می‌باشد. داده‌های مشاهده شده از یک دوره‌ی زمانی طولانی مربوط به یک سامانه‌ی رود در تحلیل فراوانی تجزیه و تحلیل می‌شوند. این داده‌ها به صورت مستقل و دارای توزیع مشابه در نظر گرفته می‌شوند. فرض بر این است که داده‌ها یا متغیرهای آبشناسی از نظر مکانی و زمانی مستقل می‌باشند. در دسترس بودن داده‌ها یکی از جنبه‌های مهم تحلیل فراوانی است. برآورد احتمال رخداد سیلاب‌های حدی در واقع یک برونویابی بر اساس داده‌های موجود است، بنابراین هرچه داده‌های پایه بیشتر باشد، صحت برآورد بیشتر خواهد شد. روش‌های تحلیل فراوانی گوناگون بوده، اما همه‌ی آنها نیاز به وجود داده‌های حقیقی دارند. اساس کار بدین صورت است که باید یک توزیع فراوانی را برای جامعه واقعی که در دست باشند فرض نموده و داده‌های آماری را از روی داده‌های موجود محاسبه کرد. بدینهی است قبول چنین فرضی جهت برونویابی و پیش‌بینی حوادث است که از نظر زمانی بسیار طولانی‌تر از داده‌های موجود در سطح جهان در خصوص سیلاب می‌باشد (ریاحی، ۱۳۷۵).

منطقه‌ی مورد مطالعه

حوضه‌ی آبخیز دز واقع در جنوب غربی کشور و محدود به مختصات جغرافیایی ۴۸ درجه و ۱۰ دقیقه تا ۳۱ درجه و ۲۰ دقیقه طول شرقی و ۳۰ درجه و ۵۰ دقیقه تا ۳۴ درجه و ۵ دقیقه‌ی عرض شمالی است. سطح حوضه‌ی آبخیز رود تا محل سد بختیاری ۶۳۶۹ کیلومترمربع و تا محل سد دز ۱۷۴۲۸ کیلومترمربع است. میانگین شیب و ارتفاع سد بختیاری و دز به ترتیب ۱۶/۱۱ درصد و ۲۲۱۲ و ۱۹۷۴ متر از سطح دریا می‌باشد (معتمدی، ۱۳۸۴).

این رود از دو شاخه‌ی عمدۀ و چند شاخه‌ی کوچک دیگر تشکیل می‌شود. آب بختیاری یا آب زالکی و رود سزار، شاخه‌های بزرگ رود در را بوجود آورده‌اند. نقشه‌ی حوضه‌ی آبخیز در شکل(۱) عرضه شده است.

هاسکینگ^۱ و والیس^۲ ترکیب خطی از گشتاورهای وزنی احتمالی^۳ است (هاسکینگ و والیس، ۱۹۹۷). تخمین نمونه نالریب گشتاورهای وزنی احتمالی برای هر گونه توزیع می‌تواند از معادله‌ی کلی زیر محاسبه شود (هاسکینگ و والیس، ۱۹۹۷):

$$\beta_r = \frac{1}{n} \sum_{j=1}^{n-r} \left[\frac{(n-j)}{(n-1)} \right] X_{(j)} \quad (2)$$

$X_{(j)}$ مقدادر مرتب شده (نژولی) را نشان می‌دهد ($X_1 > X_2 > \dots > X_{(j)}$). شکل کلی تخمینگرهای گشتاورهای خطی به صورت زیر مطرح می‌شود:

$$\lambda_{r+1} = \sum_{k=0}^r \beta_r (-1)^{r-k} \times \binom{r}{k} \times \binom{r+k}{k} \quad (3)$$

نسبت گشتاورهای خطی به صورت زیر تعریف می‌گردد:

$$L - k = \tau_4 = \lambda_4 / \lambda_2 \quad (4)$$

$$L - \gamma = \tau_3 = \lambda_3 / \lambda_2$$

$$L - C_V = \tau_2 = \lambda_2 / \lambda_1$$

τ_3 و τ_4 به ترتیب ضریب تغییرات خطی، چولگی خطی و کشیدگی خطی می‌باشند.

تعیین بهترین توزیع آماری

در این پژوهش تحلیل به روش ایستگاهی و منطقه‌ای بود. برای تعیین بهترین توزیع ایستگاهی از روش آزمون بهترین برازش بر اساس نسبت‌های گشتاورهای خطی ایستگاهی استفاده شد. بهترین توزیع، آن است که قدر مطلق مقدار معیار برازش آن کم تر از $1/64$ باشد. هرچه عدد به صفر نزدیک تر باشد، توزیع بهتر خواهد بود (کومار و چاترجی و پانیگری، ۲۰۰۳).

همراه با توزیع‌های گوناگون، روابط احتمال تجربی هازن، هاسکینگ، گرینگورتن، بلوم، چگودیف، توکی و ویبول بکار گرفته شده و بهترین رابطه‌ی احتمال تجربی برای هر ایستگاه تعیین گردید. جدول زیر نتایج را نشان می‌دهد. در این جدول GPA توزیع پارتوی تعمیم یافته، PE3 پیرسون نوع سه، GLO لوجستیک تعمیم یافته،

معیار ناهمگنی

در تعیین درجه‌ی ناهمگنی از رابطه‌ی زیر استفاده می‌گردد (هاسکینگ و والیس، ۱۹۹۷):

$$H = \frac{(V_1 - \mu_{V1})}{\delta_{V1}} \quad (1)$$

فراسنج‌های توزیع کاپا بر مبنای گشتاورهای خطی میانگین گروه $\bar{t}_1, \bar{t}_2, \bar{t}_3$ و \bar{t}_4 تعیین شده و تعداد N_{sim} ناحیه بر مبنای توزیع بدست می‌آید. این نواحی شبیه‌سازی شده شده همگن بوده و هیچ نوع همبستگی عرضی یا طولی ندارند. مقدار V برای هر ناحیه‌ی شبیه‌سازی شده محاسبه می‌گردد. از مقدادر مقادیر N_{sim}, V_1 ناحیه‌ی تعیین می‌گردد؛ این مقدادر با μ_{V1} و δ_{V1} نمایش داده می‌شوند. اگر $H < 1$ باشد منطقه کاملاً همگن و اگر $H > 1$ احتمال ناهمگنی وجود دارد، ولی در عمل تا مقدار $H = 3$ را نیز می‌توان منطقه را همگن فرض نمود (هاسکینگ و والیس، ۱۹۹۷). با استفاده از تجزیه و تحلیل خوش‌ای ابتدا تمام حوضه به صورت یک منطقه‌ی همگن فرض شد. سپس میزان ناسازگاری ایستگاههای موجود و معیار ناهمگنی برای منطقه محاسبه گردید. وقتی کل حوضه به صورت یک منطقه‌ی همگن فرض می‌شود، کل منطقه را می‌توان همگن دانست. میزان ناسازگاری برای هر یک از ایستگاههای مورد مطالعه در این حالت محاسبه شد، اما وجود ناسازگاری بالا برای برخی ایستگاههای مهم از قبیل سپید دشت، تنگ پنج و بامدز باعث شد تا حوضه به سه منطقه‌ی همگن تقسیم گردیده و تجزیه و تحلیل انجام شود. جدول (۲) نتایج آزمون ناهمگنی را برای مناطق سه گانه‌ی حوضه‌ی دز نشان می‌دهد.

گشتاورهای خطی

همانند گشتاورهای معمولی هدف از گشتاورهای خطی خلاصه کردن توزیع‌های انگاره‌ای و نمونه‌های مشاهداتی است. روش گشتاورهای خطی تعریف شده به وسیله‌ی

¹- Hosking

² - Wallis

³- probability weighted moments

کننده، تک‌تک به معادله اضافه شده و در پی آن اگر نقش معنی داری در وایازی نداشته باشند، از آن حذف می‌گردد، لذا در برخی معادله‌ها تعدادی از فراسنج‌ها معادله حذف شد. معادله‌هایی بر اساس فراسنج‌هایی که بیش ترین نقش را دارند، شکل گرفته است. جدول ۹ معادله‌های بدست آمده را برای دوره‌های برگشت گوناگون نشان می‌دهد.

در این معادله‌ها A مساحت، LO طول جغرافیایی، LA عرض جغرافیایی و H ارتفاع است. برای محاسبه‌ی بدده‌ی لحظه‌ای، ابتدا با استفاده از معادله‌های بالا بدده‌ی بدون بعد بدست می‌آید، سپس با ضرب کردن این عدد در میانگین، بدده‌ی مورد نظر حاصل می‌شود.

نتیجه گیری

در تجزیه و تحلیل سیلاب حوضه‌ی دز به صورت ایستگاهی و منطقه‌ای به گونه‌ی خلاصه نتایج زیر بدست آمد:

۱- فراسنج‌های طول، عرض و ارتفاع جغرافیایی، مساحت و میانگین بدده‌ی لحظه‌ای سالانه به عنوان فراسنج‌های خوشبندی انتخاب شدند.

۲- با در نظر گرفتن ۲۶ ایستگاه مورد نظر به صورت یک منطقه‌ی همگن، ناسازگاری برخی ایستگاه‌های مهم از قبیل سپید داشت، تنگ پنج و بامدز بالا می‌رود.

۳- برای پایین‌آوردن ناسازگاری و در نتیجه خطای محاسبات منطقه‌ای، ۲۶ ایستگاه مورد مطالعه به سه منطقه‌ی همگن تقسیم شدند.

۴- میزان نا همگنی بر اساس معیار H_1 در مناطق A، B و C به ترتیب ۰/۰۳، ۰/۰۲ و ۰/۰۹ است که نشان می‌دهد بر اساس فراسنج‌های انتخاب شده هر سه منطقه، همگنی خیلی خوبی دارند.

۵- با انتخاب کل منطقه به صورت همگن، معیار نا همگنی H_3 برابر ۲/۵۵ است که نشانه‌ی نا همگن بودن منطقه می‌باشد.

۶- در تحلیل ایستگاهی و انتخاب بهترین رابطه احتمال تجربی و توزیع فراوانی سه فراسنجی نتایج بر اساس جداول ۱۱ و ۳ می‌باشد.

GNO بهنجار تعمیم یافته و GEV مقادیر حدی تعمیم یافته می‌باشند.

در روش منطقه‌ای برای تعیین توزیع آماری از روش آزمون بهترین برازش و نمودار گشتاورهای خطی استفاده شد. نمودار مزبور نسبت گشتاورهای خطی براسas روابط بین نسبت گشتاورهای خطی می‌باشد (کومار چاترجی، ۲۰۰۳).

نمودار ضریب چولگی خطی در مقابل ضریب کشیدگی خطی می‌تواند برای مشخص کردن توزیع‌های ویژه بکار رود. مناسب ترین توزیع آن است که نقطه‌ها در اطراف نمودار آن توزیع به صورت خوش‌ای پخش شده باشند (لی و مائنگ، ۲۰۰۳).

نمودارهای گشتاورهای خطی برای مناطق پنجگانه در شکل‌های ۲ و ۳ آورده شده‌اند.

پس از انتخاب بهترین توزیع فراوانی، بدده‌های با دوره‌ی برگشت گوناگون محاسبه شدند. شکل‌های ۶، ۷، ۸ داده‌های محاسباتی را نشان می‌دهند.

محاسبه‌ی میزان خطای بین داده‌های محاسباتی و مشاهداتی

یکی از راههای بررسی درستی یک روش، برآورده میزان خطای محاسبات است. در این پژوهش میانگین مربعات نسبی خطای بین داده‌های محاسبه‌ای و مشاهداتی با استفاده از رابطه‌ی زیر تعیین شده است (رستمی، ۱۳۸۲):

$$rRMSE_i(F) = \left[\frac{\hat{Q}_i(F) - Q_i(F)}{Q_i(F)} \right]^{\frac{1}{2}} \quad (5)$$

$\hat{Q}_i(F)$ بدده برآورده شده‌ی ایستگاه i و $Q_i(F)$ مشاهداتی ایستگاه i است. شکل‌های ۴ و ۵ میزان خطای محاسباتی را برای چند ایستگاه در مناطق A، B و C نشان می‌دهند.

برآورده منطقه‌ای

در این پژوهش برای بدست آوردن رابطه‌ای شامل فراسنج‌های گوناگون از نرم افزار SPSS استفاده شده است. با بررسی وایازی‌های خطی و چندگانه با روش گام به گام (stepwise) ابتدا تمام متغیرهای پیشگویی

- ۱۱- بررسی نتایج بدست آمده با روش گشتاورهای منطقه‌ای با روش‌های دیگری که در بخش پیشینه‌ی پژوهش آورده شده اند، نشان از دقیقیت این روش در برآورد منطقه‌ای و ایستگاهی نسبت به روش‌های دیگر دارد.
- ۱۲- شبیه‌هایی برای تخمین بده در نقاط فاقد آمار تخمین زده شد که می‌توان با کاربرد آن‌ها بده را برای دوره‌های گوناگون برگشت برآورد کرد.



موقعیت حوضه‌ی دز

بر اساس این جداول رابطه‌ی هازن از روابط احتمال تجربی و توزیع لوجستیک تعیین یافته (GLO) از توزیع‌های سه فراسنجدی بیشترین شمار برآذش را در ایستگاههای مورد مطالعه دارد.

۷- در تحلیل منطقه‌ای بر اساس معیار بهترین برآذش، نتایج انتخاب بهترین توزیع فراوانی و رابطه‌ی احتمال تجربی رابطه‌ی چگوونی و توزیع GEV برای منطقه‌ی A، رابطه‌ی گرین گورتن و توزیع GNO برای منطقه‌ی B و رابطه‌ی گرین گورتن و توزیع GEV برای منطقه‌ی C مناسب می‌باشند (جدول‌های ۱۰ و ۱۲).

۸- در تحلیل منطقه‌ای بر اساس نمودار گشتاورهای خطی در انتخاب بهترین توزیع آماری توزیع GEV برای منطقه‌ی A، توزیع PE3 برای منطقه‌ی B و توزیع GNO برای منطقه‌ی C مناسب‌ترین است.

۹- بررسی خطای محاسباتی در تحلیل منطقه‌ای نشان می‌دهد که توزیع‌های آماری دو فراسنجدی در دوره‌ی برگشت‌های کم بیشترین خطای دارند. توزیع‌های چهار فراسنجدی کاپا و پنج فراسنجدی و کبابی بهترین گزینه‌ی برآورد بده‌هایی با دوره‌ی برگشت بالا هستند.

۱۰- تحلیل منطقه‌ای در برخی از ایستگاههای خطای محاسباتی بالاتری نسبت به تحلیل ایستگاهی دارد.

جدول ۱- میزان ناهمگنی.

	A منطقه‌ی	B منطقه‌ی	C منطقه‌ی	منطقه‌ی شامل تمام
V_1	۱۸/۳۵۴۵	۳۲/۴۳۱۸	۱/۴۲۹۸	۲۶/۹۱۵۱
μ_{V1}	۱۰/۱/۷۵۷۶	۶۹/۵۵۱۷	۲۶/۳۰۱۸	۱۵۰/۰۱۰۶
σ_{V1}	۲۷۶۴/۵۱۱۶	۱۹۸۵/۸۵۰۷	۲۸۹/۸۲۱	۳۱۲۸/۷۸۷۲
H₁	-۰/۰۳	-۰/۰۲	-۰/۰۹	-۰/۰۴
V_2	۱۵/۱۵۰۹	۲۹/۵۶۱۲	۱/۳۷۷۲	۲۲/۴۷۲
μ_{V2}	۵۳/۵۰۱۱	۵۲/۵۷۱۴	۲۱/۰۲۲۴	۶۱/۵۱۲۶
σ_{V2}	۱۴۱۴/۵۱۵۸	۱۵۰۵/۶۹۸۹	۲۳۱/۵۱۰۱	۱۲۰۵/۳۶۳۷
H₂	-۰/۰۳	-۰/۰۲	-۰/۰۸	-۰/۰۳
V_3	۰/۱۰۰۳	۰/۰۸۱۴	۰/۱۳۳۶	۰/۱۱۵۸
μ_{V3}	۰/۰۸۶۴	۰/۰۷۱۷	۰/۰۸۳۵	۰/۰۸۷۹
σ_{V1}	۰/۰۱۵۴	۰/۰۲	۰/۰۲۸۴	۰/۰۱۱۸
H₃	۰/۹	۰/۴۹	۱/۷۷	۲/۵۵

جدول ۲- رابطه‌ی احتمال تجربی و توزیع منتخب برای ایستگاههای مورد مطالعه (تحلیل ایستگاهی).

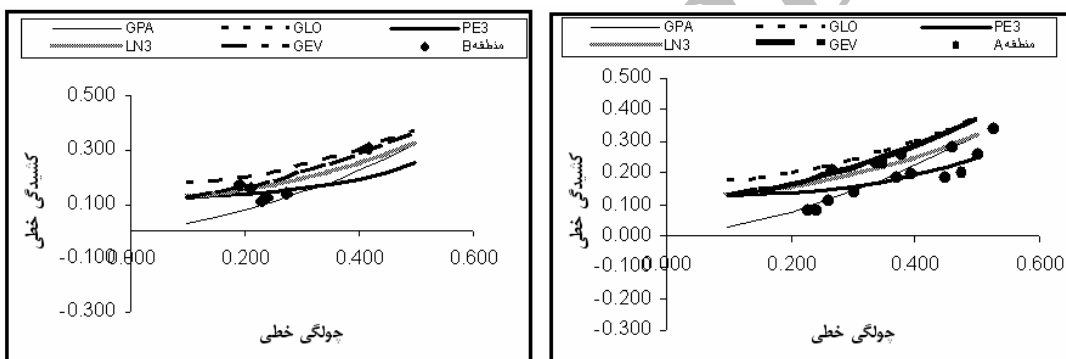
ایستگاه	رابطه	توزیع	معیار بهترین	ایستگاه	رابطه	توزیع	معیار بهترین	ایستگاه
رخیم آباد	هازن	GLO	.	دورود ماربره	هازن	GPA	.	.
دره ای تخت	بلوم	PE3	-۰/۰۴	دزفول	توکی	GNO	-۰/۰۳	-۰/۰۳
دره ای تخت	چگویدیف	GPA	.	بیاتون	موک	GNO	توکی	دورود
سپید دشت	گرین گورتن	GPA	-۰/۰۷	هاسکینگ	چم چیت	GLO	-۰/۰۱	-۰/۰۲
سپید دشت	گرین گورتن	GLO	-۰/۰۱	گرین گورتن	چم زمان	PE3	-۰/۰۵	-۰/۰۵
کشور	چگویدیف	PE3	-۰/۰۴	هازن	حرمله	GLO	-۰/۰۵	-۰/۰۵
تنگ پنج	هاسکینگ	GLO	-۰/۰۳۲	توکی	بامدژ	GLO	-۰/۰۲	-۰/۰۲
تنگ پنج سزار	گرین گورتن	PE3	۰/۰۱	هاسکینگ	چشممه لنگان	GLO	-۰/۰۳	-۰/۰۳
تله زنگ	گرین گورتن	PE3	۰/۰۲	بلوم	ونابی	GLO	-۰/۰۵	-۰/۰۲
زرد فهره	هاسکینگ	GLO	-۰/۰۵	هاسکینگ	ونابی گله	GEV	-۰/۰۸	-۰/۰۱
کاظم آباد	بلوم	GPA	-۰/۰۸	کمندان	توکی	GEV	-۰/۰۱	-۰/۰۱
قلیان	هاسکینگ	GPA	-۰/۰۳	پل شاور	هازن	GEV	-۰/۰۱	-۰/۰۱

جدول ۳- بدنهای ایستگاهی با دوره‌های برگشت گوناگون (تحلیل ایستگاهی).

دوره‌ی برگشت (سال)									ایستگاه
۱۰۰۰	۵۰۰۰	۱۰۰۰	۵۰۰	۱۰۰	۵۰	۱۰	۲		
۵۵۹/۰۲۱	۵۴۴/۴۲۸	۴۹۸/۶۵۴	۴۷۲/۳۲۶	۳۸۹/۷۴۳	۳۴۲/۲۴۴	۱۹۳/۲۵۲	۳۱/۸	سپید دشت	
۷۱۴/۱۰۱	۵۷۰/۲۳۷	۳۲۹/۲۲۵	۲۵۵/۴۴۸	۱۳۱/۸۴	۹۳/۹۹۵	۳۰/۵۹۷	۹/۱۶	بیاتون	
۱۹۳۱/۵۸۵	۱۶۵۹/۳۲۶	۱۱۲۱/۷۰۹	۹۲۶/۸۳۹	۴۴۸/۲۱۴	۴۱۳/۵۰۱	۱۵۶/۴۸۹	۳۹/۶۹۵	دوروود	
۱۳۶۹/۳۹۱	۱۱۶۶/۲۶۰	۷۷۱/۷۵۸	۶۳۱/۴۱۸	۲۶۴/۱۴۲	۲۷۱/۲۵۲	۹۸/۷۰۹	۲۶/۲۵۳	مروک	
۹۷/۱۷	۸۴/۷	۶۰/۰۴	۵۱/۰۲	۳۳/۱۲	۲۶/۵۲	۱۳/۰۶۴	۰	رحیم آباد	
۱۰۴/۴۲	۸۰/۶۶	۴۳/۶۶	۳۳/۲	۱۶/۸۷	۱۲/۲۳	۴/۸۴	۰	ونابی	
۶۴۶/۶۱	۴۴۷/۴۲	۱۸۸/۱۵	۱۲۸/۴۶	۵۰/۶۸	۳۲/۷	۸/۹۵	۲/۴	ونابی گله	
۳۱۸۴/۷	۲۴۶۸/۱	۱۳۳۹/۹	۱۰۱۷/۳	۵۰/۸/۴	۳۶۲	۱۲۶/۵	۳۰/۵	سپید دشت	
۶۵۰/۷	۵۲۹/۳۵	۳۲۰/۶۵	۲۵۴/۸۹	۱۴۱/۵۸	۱۰۵/۶۵	۴۲/۳۱	۶/۸	چم چیت	
۳۳/۹۳	۳۱/۲۱	۲۴/۸۸	۲۲/۱۴	۱۵/۷۶	۱۳	۶/۵	۰/۲	دره تخت	
۳۱۰۲/۶	۲۳۰۹/۸	۱۱۴۲/۷	۸۳۳/۱	۳۷۷/۱	۲۵۵/۸	۷۵/۵	۲۴/۹	دورود	
۸۹۳/۹	۸۱۲/۲	۶۲۴/۱	۵۴۳/۸	۳۶۰/۸	۲۸۳/۷	۱۱۲/۳	۳۳/۵	چم زمان	
۴۴۳۳/۳	۳۱۹۶/۷	۱۴۷۱/۵	۱۰۴۱/۱	۴۴۰/۲	۲۹۰	۷۸/۶	۲۹/۴	دره تخت	
۸۸۷/۹	۸۱۷/۵	۶۵۲/۸	۵۸۱/۳	۴۱۳/۲	۳۳۹/۵	۱۶۳/۶	۲۹/۶	کشور	
۵۳/۹	۴۸/۹	۳۳	۲۷/۹	۱۷/۸	۱۴/۱	۹/۶	۱	کمندان	
۷۶۵۱	۵۶۷۲/۸	۲۷۸۶/۸	۲۰۲۹	۹۲۱/۵	۶۲۹/۲	۱۹۴/۶	۵۹/۲	تنگ پنج	
۷۴۲/۳	۵۶۴/۶	۲۹۴	۲۱۹/۵	۱۰۵/۷	۷۴/۲	۲۵/۲	۵/۷	چشمہ	
۱۶۲۸/۴	۱۲۷۰	۶۹۹/۶	۵۳۴/۴	۲۷۰/۹	۱۹۴/۲	۶۹/۳	۱۵/۶	زرد فهرو	
۳۷۴/۷	۳۵۰/۹	۲۹۰/۹	۲۶۲/۹	۱۹۲/۵	۱۵۹/۷	۷۷	۱۵/۵	قلیان	
۱۵۴/۹	۱۵۰	۱۳۵/۳	۱۲۷/۲	۱۰۲/۹	۸۹/۵	۴۹/۳	۷/۷	کاظم آباد	
۲۱۵۷/۴	۱۸۱۲	۱۱۷۹	۹۶۵/۶	۵۷۳/۵	۴۴۰/۴	۱۸۹/۷	۲۷/۲	بامدز	
۴۷۱/۲	۴۰۰/۳	۲۶۷/۳	۲۲۱/۳	۱۳۵	۱۰۴/۹	۴۷	۵/۲	حرمله	
۸۶۰/۶	۷۹۱/۶	۶۳۰/۴	۵۶۰/۵	۳۹۶/۵	۳۲۴/۹	۱۵۴/۸	۲۹/۲	درفول	
۶۵۷۸/۹	۶۰۶۸/۸	۴۸۷۲/۸	۴۳۵۱/۴	۳۱۱۹/۸	۲۵۷۷	۱۲۶۶/۹	۲۱۷/۱	تنگ پنج	
۱۲۰۷۳/۵	۱۱۱۴۶	۸۹۶۹	۸۰۱۸/۶	۵۷۶۹/۴	۴۷۷۵/۶	۲۳۶۷/۵	۳۹۲/۶	تله زنگ	
۳۴۵۶/۷	۲۴۴۲/۸	۱۰۷۹/۵	۷۴۶	۳۰۲/۴	۱۹۵/۶	۵۰/۳	۱۹/۷	پل شاپور	

جدول ۴- معیار بهترین برازش برای مناطق همگن حوضه‌ی دز.

منطقه‌ی C						منطقه‌ی B						منطقه‌ی A						رابطه‌ی
توزيع فراوانی سه فراسنجی					توزيع فراوانی سه فراسنجی					توزيع فراوانی سه فراسنجی					احتمال			
GPA	PE	GN	GE	GL	GP	PE	GN	GE	GL	G	PE	GN	GE	GL	تجربی			
-۳/۷۷	/۴۲	/۲۲	/۵۴	/۷۴	-۳/۱۶	/۹۵	/۷۴	/۰۳	/۰۲۷	۷۹	/۶۲	/۹۷	/۵۸	/۶۴	بلوم			
-۳/۳۸	/۰۴	/۸۵	/۱۷	/۱۱	-۲/۸۶	/۶۵	/۴۴	/۷۴	/۰۰۱	۲۷	/۰۹	/۴۶	/۰۸	/۱۳	گرین گورتن			
-۲/۶۲	/۳۳	/۱۸	/۴۷	/۱۷	۲/۱۸	/۹۷	/۸۱	/۱۳	/۰۵۹	۱۴	/۹۳	/۰۶	/۰۸	۳/۱	هاسکینگ			
-۴/۰۱	/۶۶	/۴۶	/۷۷	/۵۱	۳/۳۵	/۱۴	/۹۲	/۲۱	/۰۴۵	۱۳	/۹۵	/۱۳	/۲۶	/۳۲	توكی			
-۴/۲۲	/۸۶	/۶۵	/۹۷	/۳۲	۳/۵۱	/۲۹	/۰۷	/۳۶	/-۰۶	۱۴	/۲۳	/۵۷	۰	/۱۰۶	چگودیف			
-۶/۰۱	/۶۲	/۳۸	/۶۸	/۳۶	۴/۹۱	/۶۹	/۴۴	/۷۱	/۱۹۳	۸۳	/۶۸	/۹۵	/۳۵	/۲۵	ویبول			



شکل ۳- نمودار گشتاورهای خطی منطقه‌ی A بهترین توزیع آماری را با نمودار گشتاورهای خطی نشان می‌دهد.

شکل ۲- نمودار گشتاورهای خطی منطقه‌ی B.
نکته‌ی شایان توجه اختلاف جزیی در تعیین بهترین توزیع آماری با دو روش معیار بهترین برازش و نمودارهای نمودار گشتاورهای خطی است. جدول ۵ نتیجه‌ی انتخاب

جدول ۵- اولویت انتخاب توزیع آماری.

منطقه‌ی C	منطقه‌ی B	منطقه‌ی A	اولویت
GNO یا LN3	PE3	GEV	اول
PE3	GNO یا LN3	GNO یا LN3	دوم

پس از انتخاب بهترین توزیع فراوانی، بدنهای با دوره‌های برگشت گوناگون محاسبه گردیدند. جدول‌های زیر داده‌های محاسباتی را نشان می‌دهند:

جدول ۶- بدلهایی با دوره‌های برگشت گوناگون برای منطقه‌ی A توزیع سه فراسنجی GEV و رابطه‌ی احتمال تجربی چگونه‌ی.

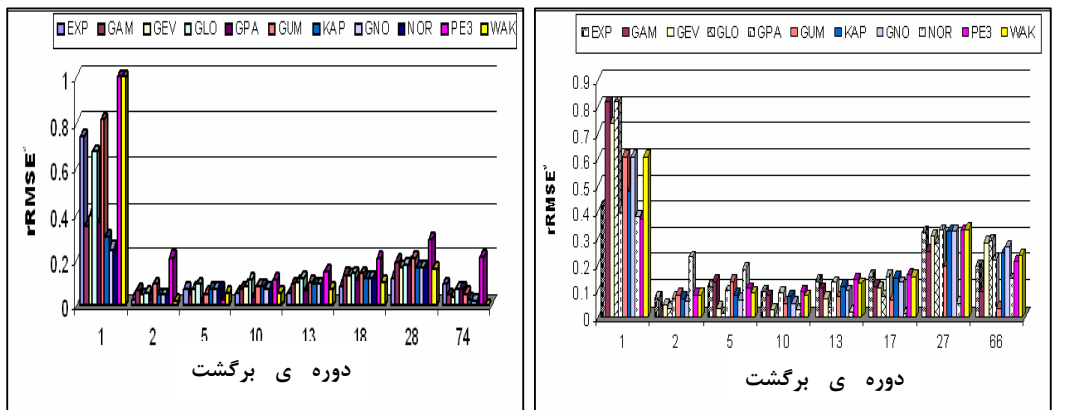
دوره‌ی برگشت (سال)													ایستگاه
۱۰۰	۵۰۰	۲۰۰۰	۱۰۰۰	۵۰۰	۲۰۰	۱۰۰	۵۰	۲۰	۱۰	۵			
۷۷۳۱	۶۳۸۵	۴۹۳۹	۴۰۵۱	۳۳۰۸	۲۵۰۹	۲۰۱۸	۱۶۰۶	۱۱۶۱	۸۸۳	۶۴۳	سپید دشت		
۳۵۱	۲۹۰	۲۲۴	۱۸۴	۱۵۰	۱۱۴	۹۲	۷۳	۵۳	۴۰	۲۹	بیاتون		
۲۷۹۸	۲۳۱۱	۱۷۸۸	۱۴۵۶	۱۱۹۷	۹۰۸	۷۳۰	۵۸۱	۴۲۰	۳۱۹	۲۳۳	دورود تیره		
۱۴۸۸	۱۲۲۹	۹۵۱	۷۸۰	۶۳۷	۴۸۳	۳۸۸	۳۰۹	۲۲۳	۱۷۰	۱۲۴	مروک تیره		
۲۵۹۹	۲۱۴۷	۱۶۶۰	۱۳۶۲	۱۱۱۲	۸۴۴	۶۷۸	۵۴۰	۳۹۰	۲۹۷	۲۱۶	سپید دشت		
۱۱۳۵	۹۳۷	۷۲۵	۵۹۵	۴۸۶	۳۶۸	۲۹۶	۲۳۶	۱۷۰	۱۳۰	۹۴	چم چیت		
۱۲۸۴	۱۰۶۱	۸۲۰	۶۷۳	۵۵۰	۴۱۷	۳۳۵	۲۶۷	۱۹۳	۱۴۷	۱۰۷	دورود ماربره		
۱۱۸۱	۹۷۶	۷۵۵	۶۱۹	۵۰۵	۳۸۳	۳۰۸	۲۴۵	۱۷۷	۱۳۵	۹۸	چم زمان		
۱۲۴۷	۱۰۳۰	۷۹۷	۶۵۳	۵۳۴	۴۰۵	۳۲۵	۲۵۹	۱۸۷	۱۴۲	۱۰۴	دره تخت		
۳۲۷۴	۲۷۰۵	۲۰۹۲	۱۷۱۶	۱۴۰۱	۱۰۶۳	۸۵۵	۶۸۰	۴۹۲	۳۷۴	۲۷۲	مالد	کشور	
۴۵۴	۳۷۵	۲۹۰	۲۳۸	۱۹۴	۱۴۷	۱۱۹	۹۴	۶۸	۵۲	۳۸	چشمه لنگان		
۱۷۱۸	۱۴۱۹	۱۰۹۷	۹۰۰	۷۲۵	۵۵۷	۴۴۸	۳۵۷	۲۵۸	۱۹۶	۱۴۳	قلیان		
۱۷۴۶	۱۴۴۲	۱۱۱۵	۹۱۵	۷۴۷	۵۶۷	۴۵۶	۳۶۳	۲۶۲	۱۹۹	۱۴۵	کاظم آباد		
۷۹۸	۶۵۹	۵۱۰	۴۱۸	۳۴۱	۲۵۹	۲۰۸	۱۶۶	۱۲۰	۹۱	۶۶	پل شاور		

جدول ۷- بدلهایی با دوره‌های برگشت گوناگون برای منطقه‌ی B توزیع سه فراسنجی GLO و رابطه‌ی احتمال تجربی گرین گورتن.

دوره‌ی برگشت (سال)													ایستگاه
۱۰۰	۵۰۰	۲۰۰۰	۱۰۰۰	۵۰۰	۲۰۰	۱۰۰	۵۰	۲۰	۱۰	۵			
۱۲۲۱	۱۰۳۲	۸۲۴۸	۶۹۴۸	۵۸۴۲	۴۶۲۸	۳۸۶۵	۲۲۱۳	۲۴۸۷	۲۰۱۹	۱۵۹۴	تنگ پنج		
۱۰۹۲	۹۲۲۲	۷۳۷۶	۶۲۱۴	۵۲۲۴	۴۱۳۹	۳۴۵۶	۲۸۷۳	۲۲۲۵	۱۸۰۵	۱۴۲۶	بامدز		
۱۲۴۲	۱۰۵۰	۸۳۹۱	۷۰۶۸	۵۹۴۳	۴۷۰۸	۳۹۳۲	۳۲۶۸	۲۵۳۱	۲۰۵۴	۱۶۲۲	حرمله		
۱۳۸۹	۱۱۷۴	۹۳۸۱	۷۹۰۲	۶۶۴۴	۵۲۶۳	۴۳۶۹	۳۶۵۴	۲۸۲۹	۲۲۹۶	۱۸۱۳	دزفول		
۱۶۹۲	۱۴۲۹	۱۱۴۲	۹۶۲۴	۸۰۹۲	۶۴۱۰	۵۳۵۳	۴۴۵۰	۳۴۴۶	۲۷۹۶	۲۲۰۹	تنگ پنج سزار		
۲۹۸۱	۲۵۱۹	۲۰۱۳	۱۶۹۵	۱۴۲۵	۱۱۲۹	۹۴۶۲	۷۸۴۱	۶۰۷۱	۴۹۲۷	۳۸۹۱	تله زنگ		

جدول ۸- بدلهایی با دوره‌های برگشت گوناگون برای منطقه‌ی C توزیع سه فراسنجی GEV و رابطه‌ی احتمال تجربی گرین گورتن.

دوره‌ی برگشت (سال)													ایستگاه
۱۰۰	۵۰۰	۲۰۰۰	۱۰۰۰	۵۰۰	۲۰۰	۱۰۰	۵۰	۲۰	۱۰	۵			
۷۴۰	۵۸۱	۴۲۰	۳۲۹	۲۵۷	۱۸۵	۱۴۳	۱۱۱	۷۸	۵۹	۴۳	رحیم آباد		
۱۳۷	۱۰۸	۷۸	۶۱	۴۸	۳۴	۲۷	۲۱	۱۴	۱۱	۸	ونایی آب		
۲۹۳	۲۳۰	۱۶۶	۱۳۰	۱۰۲	۷۳	۵۷	۴۴	۳۱	۲۳	۱۷	ونایی گله رود		
۱۶۳	۱۲۸	۹۳	۷۳	۵۷	۴۱	۳۲	۲۴	۱۷	۱۳	۱۰	دره تخت		
۲۰۴	۱۶۰	۱۱۶	۹۱	۷۱	۵۱	۳۹	۳۰	۲۱	۱۶	۱۲	کمندان		



شکل ۵- نمودار rRMSE ایستگاه دزفول منطقه‌ی B رابطه‌ی گرین گورتن

شکل ۴- نمودار rRMSE ایستگاه قلیان منطقه‌ی A رابطه‌ی چگویدیف

جدول ۹- معادله‌های تعیین بده با دوره‌های برگشت گوناگون برای حوضه‌ی دز.

ایستگاه‌های پرت	شرط	معادله	R ²	%:
A منطقه‌ی				
دره‌ی تخت و سپید دشت سزا	A>40 Km ²	Q = 8644 - 85.8La - 129Lo + .0181Al - .0677A	.875	10
سپید دشت سزار و پل شاور	A>40 Km ²	Q = 22835 - 230La - 339Lo + .0528Al - .173A	.905	100
سپید دشت سزار و پل شاور	A>40 Km ²	Q = 45838 - 461La - 680Lo + .114Al - .348A	.905	1000
دره‌ی تخت و سپید دشت سزار	A>40 Km ²	Q = e ^{89.8-.841La-1.26Lo+.000346Al-.000648A}	.95	10000
B منطقه‌ی				
--	A>20 Km ²	Q = 2380.23La - 4919.79Lo + 3212.95Ln(Al) + 2954.37Ln(A)	.9319	10
--	A>20 Km ²	Q = -1369.23La + 1766.91Lo + 14.441Al + .6265A	.9458	100
--	A>20 Km ²	Q = -6.605 exp(La) - 244.78Lo + 25.67Al + 0.857A	.9095	1000
--	A>	Q = -2372.17La + 3061.14Lo + 25.02Al + 1.09A	.946	10000
C منطقه‌ی				
--	A>	Q = 0.0446La - 0.1022Lo + 0.0423Al + 14.79Ln(A)	.965	10
--	A>	Q = 0.1709La - 0.039Lo - 104.2Ln(Al) + 33.54Ln(A)	.959	100
--	A>	Q = 0.3243La - 0.073Lo - 455.62Log(Al) + 146.51Log(A)	.96	1000
--	A>	Q = 0.5561La - 0.125Lo - 781.13Log(Al) + 251.24Log(A)	.96	10000

جدول ۱۰- تعداد ایستگاههایی که رابطه‌ی احتمال تجربی برای آن‌ها مناسب است.

رابطه‌ی احتمال تجربی							
ویبول	چگودیف	گرین گورتن	توکی	بلوم	هاسکینگ	هازن	تعداد ایستگاه
.	۲	۵	۵	۳	۶	۵	تعداد ایستگاه

جدول ۱۱- تعداد ایستگاههایی که توزیع‌های سه فراسنじی برای آن‌ها مناسب است.

رابطه‌ی احتمال تجربی					تعداد ایستگاه
PE3	GPA	GEV	GNO	GLO	
۶	۵	۲	۳	۱۰	

جدول ۱۲- تعداد ایستگاههایی که رابطه‌ی احتمال تجربی برای آن‌ها مناسب است.

رابطه‌ی احتمال تجربی							
ویبول	چگودیف	گرین گورتن	توکی	بلوم	هاسکینگ	هازن	تعداد ایستگاه
.	۳	۳	۲	۴	۳	۱۰	تعداد ایستگاه

جدول ۱۳- تعداد ایستگاههایی که توزیع‌های سه فراسنじی برای آن‌ها مناسب است.

رابطه‌ی احتمال تجربی					تعداد ایستگاه
PE3	GPA	GEV	GNO	GLO	
۴	۵	۳	۳	۱۱	

گشتاورهای خطی، پایان نامه کارشناسی ارشد سازه‌های آبی، دانشکده کشاورزی دانشگاه شهید باهنر کرمان، کرمان.

5. Hosking J. R. M. Wallis. J. R. 1997. Regional frequency analysis: An approach based on L-moment. Cambridge University Press, London UK.
6. R. Kumar, Chatterjee, C. Panigrihy, N. Patwary, B.C. Singh, R.D. 2003. Development of regional flood formulae using L-moments for gauged and ungauged catchments of North Brahmaputra River System. IE (I) Journal 84:
- 7 Kumar, R. Chatterjee, C. Kumar, S. Lohani, A. K. Singh, R. D. 2003. Development of regional flood frequency relationships using L-moments for Middle Ganga Plains Subzone 1(f) of India. Water Resources Management. 17. 243–257.
8. Lee, S. H. Maeng, S. J. 2003. Frequency analysis of extreme rainfall using L-moments. Irrigation and Drainage Journal: 52: 219–230.

سپاسگزاری

از سازمان آب و برق خوزستان که حمایت مالی این پژوهش را بر عهده داشت، تقدیر و تشکر می‌گردد.

منابع

۱. ریاحی ف، ۱۳۷۵، تحلیل منطقه‌ای سیلاب در حوضه‌های دز، کارون، مارون و زهره، پایان نامه‌ی کارشناسی ارشد سازه‌های هیدرولیکی، دانشکده فنی دانشگاه تهران، تهران.
۲. معتمدی ع، ۱۳۸۴، ارزیابی سیلابهای واقعه و محاسباتی در حوضه‌ی آبریز دز در ارتباط با سیلاب طراحی سد دز، پایان نامه کارشناسی ارشد آبیاری و زهکشی، دانشگاه آزاد واحد علوم و تحقیقات تهران، تهران.
۳. رستمی ر، ۱۳۸۷، تحلیل سیلاب حوضه‌های دز و کارون، طرح تحقیقاتی، سازمان آب و برق خوزستان، اهواز.
۴. رستمی، ر، ۱۳۸۲، تحلیل منطقه‌ای سیلاب در حوضه‌ی هلیل رود و حوضه‌های استان آذربایجان غربی با روش